

УДК 621.396

В.К. ВОЛОСЮК, К.Н. ЛЁВКИНА, В.М. ВЕЛАСКО ЭРРЕРА

Национальный аэрокосмический университет им. Н. Е. Жуковского «ХАИ», Украина

СТАТИСТИЧЕСКАЯ СВЯЗЬ МАТЕМАТИЧЕСКИХ МОДЕЛЕЙ ЯРКОСТНОЙ ТЕМПЕРАТУРЫ РАДИОТЕПЛОВОГО ИЗЛУЧЕНИЯ И КОЭФФИЦИЕНТА ОТРАЖЕНИЯ

Исследуется статистическая связь основных параметров, анализируемых при активном и пассивном дистанционном зондировании поверхностей – коэффициента отражения и яркостной температуры. Приводятся теоретические выкладки и результаты анализа для нескольких, наиболее часто встречающихся типов поверхностей.

дистанционное зондирование, коэффициент рассеяния, яркостная температура, коэффициент корреляции, статистические характеристики

Введение

Необходимость определения статистической связи моделей яркостной температуры радиотеплового излучения и коэффициента отражения возникает при решении различных задач дистанционного зондирования. Это задачи пересчета характеристик теплового излучения в характеристики отраженных сигналов и обратно, задачи комплексирования [1] результатов измерений радиометрическими и активными радиолокационными датчиками, а также интерпретации результатов измерений комплексными методами активной и пассивной радиолокации, и в частности, задачи измерения диэлектрических и геометрических характеристик подстилающих поверхностей [2]. При этом важнейшей характеристикой совместно регистрируемых сигналов является коэффициент их взаимной корреляции.

1. Формулирование проблемы

При определении статистической связи между отраженными и радиотепловыми сигналами возникают некоторые трудности. Они обусловлены тем, что поле собственного излучения земной поверхности является некоррелированным с полем отраженных или рассеянных радиоволн. При проведении же

практических исследований наблюдается наличие связи между этими полями и вопрос о степени их корреляции остается актуальным. В данной работе задача решена в предположении, что рассматривается только одна реализация статистически неровной поверхности и состояние поверхности во времени не меняется.

2. Решение проблемы

При решении задачи определения статистической связи в качестве сравниваемых характеристик отраженных сигналов и теплового излучения (от одних и тех же участков поверхности ΔS) возьмем коэффициент обратного отражения (рассеяния) и яркостную температуру.

Считаем, что элементы разрешения активной и пассивной РЛС одинаковы, а величины и параметров поверхности и термодинамическая температура T_0 в пределах рассматриваемой площадки постоянны. Тогда коэффициент отражения по мощности за период гармонического сигнала определяется следующим выражением [2]:

$$K = \frac{\left| \int_{\Delta S} \dot{F}(\vec{r}) e^{-j\vec{q}_\perp \vec{r}} d\vec{r} \right|^2}{\Delta S \cos \theta_i}, \quad (1)$$

где $\dot{F}(\vec{r})$ – случайная функция координат подстилающей поверхности $\vec{r} = (x, y)$, порожденная граничными условиями и представляющая собой распределение комплексного коэффициента отражения на площади ΔS , $\langle \dot{F}(\vec{r}) \rangle = 0$; $\vec{q}_\perp = (q_x, q_y)$ – горизонтальная проекция вектора рассеяния

$$\vec{q} = k(\vec{\Theta}_i - \vec{\Theta}_s), \quad (2)$$

где $\vec{\Theta}_i, \vec{\Theta}_s$ – единичные векторы в направлениях падения и рассеяния волн (рис. 1);

$$\begin{aligned} \vec{q}_x &= k(\sin \theta_i - \sin \theta_s \sin \varphi_s); \\ \vec{q}_y &= -k(\sin \theta_s \sin \varphi_s). \end{aligned} \quad (3)$$

Тогда яркостная температура, определяемая из условия энергетического баланса [3], равна

$$\begin{aligned} T_\pi &= (1 - K_u)T_0 = \left[1 - \frac{1}{4\pi} \int_\Omega K(\Omega) d\Omega \right] T_0 = \\ &= \left[1 - \frac{1}{4\pi} \int_\Omega \frac{\dot{F}(\vec{r}) \exp[-j\vec{q}_\perp \vec{r}]}{\Delta S \cos \theta_i} d\vec{r} \right] T_0, \end{aligned} \quad (4)$$

где Ω – текущее значение телесного угла, определяемое координатами θ_s, φ_s ; $d\Omega = \sin \theta_s d\theta_s d\varphi_s$ – элемент телесного угла.

В качестве меры статистической связи коэффициента отражения и яркостной температуры одного и того же участка поверхности примем коэффици-

ент корреляции (термодинамическую температуру считаем постоянной неслучайной величиной) [1]:

$$\rho = -\frac{\langle \overset{\circ}{K} \overset{\circ}{T}_\pi \rangle}{\sigma_K \sigma_{T_\pi}} = \frac{\overset{\circ}{\gamma}_i \overset{\circ}{\gamma}_u}{\sigma_{\gamma_i} \sigma_{\gamma_u}} = \frac{\langle \gamma_i \gamma_u \rangle - \langle \gamma_i \rangle \langle \gamma_u \rangle}{\sqrt{[\langle \gamma_i^2 \rangle - (\gamma_i)^2][\langle \gamma_u^2 \rangle - (\gamma_u)^2]}}, \quad (5)$$

где $\overset{\circ}{K}, \overset{\circ}{T}_\pi$ – центрированные значения коэффициента отражения и яркостной температуры, а σ_K, σ_{T_π} – их дисперсии. Величины γ_i, γ_u (коэффициент обратного рассеяния и интегральный коэффициент рассеяния) равны:

$$\gamma_i = \left| \int_{\Delta S} \dot{F}(\vec{r}) \exp[-j\vec{q}_\perp \vec{r}] d\vec{r} \right|^2; \quad (6)$$

$$\gamma_u = \frac{1}{4\pi} \left| \int_\Omega \gamma_i[\vec{q}_\perp] d\Omega \right|^2. \quad (7)$$

Для обратного рассеяния $\gamma_i = \gamma[\vec{q}_\perp]$. При этом $\theta_s = \theta_i, \varphi_s = \pi, \vec{q}_\perp = \vec{q}_\perp$. В бистатическом случае величину γ_i будем обозначать как

$$\gamma_s = \gamma(\Omega) = \gamma(\vec{q}_\perp).$$

Кроме того, введем следующее обозначение

$$\dot{v}(\vec{q}_\perp) = \int_{\Delta S} \dot{F}(\vec{r}) \exp[-j\vec{q}_\perp \vec{r}] d\vec{r}. \quad (8)$$

Тогда $\gamma(\vec{q}_\perp) = |\dot{v}(\vec{q}_\perp)|^2. \quad (9)$

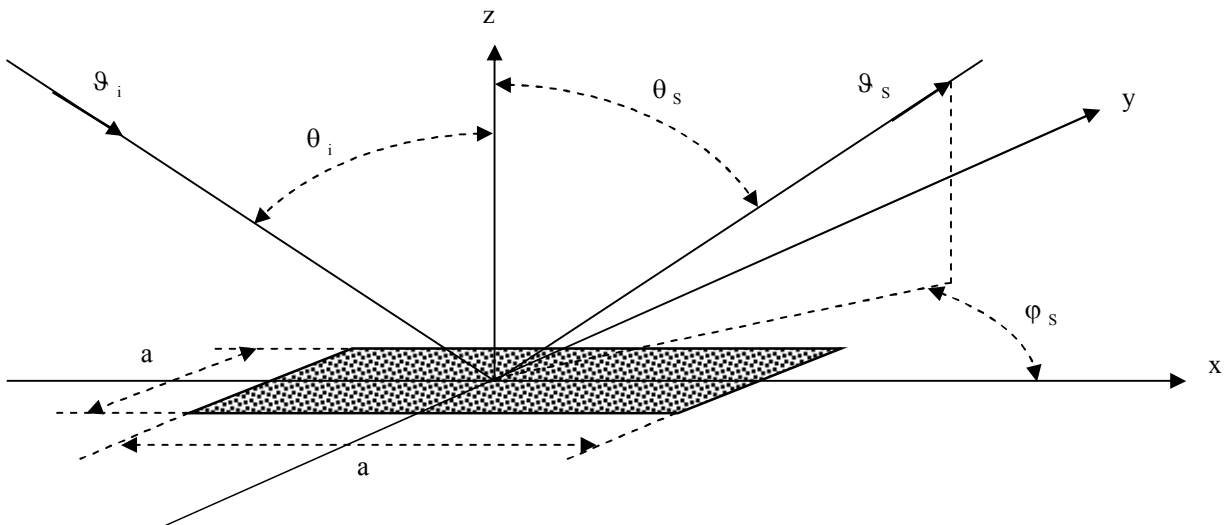


Рис. 1. Геометрия задачи

Для расчета коэффициента корреляции запишем статистические характеристики, входящих в его состав величин.

Среднее значение коэффициента γ_i равно

$$\langle \gamma \rangle = \langle \dot{v}(\bar{q}_{\perp})^2 \rangle \approx \sigma^0 \Delta S. \quad (10)$$

Здесь $\sigma^0(\bar{q}_{\perp})$ - эффективное сечение рассеяния. В общем случае эффективное сечение рассеяния является бистатическим и является функцией телесного угла $\Omega = \Omega(\theta_s, \varphi_s)$. В частном случае $\varphi_s = \pi$, $\theta_s = \theta_i$, т.е. в случае обратного рассеяния эффективное сечение является удельной ЭПР поверхности ΔS .

Второй момент γ_i равен

$$\langle \gamma_s^2 \rangle = 2[\sigma^0(\bar{q}_{\perp S})]^2 [\Delta S]^2, \langle \gamma_i^2 \rangle = 2[\sigma^0(\bar{q}_{\perp i})]^2 [\Delta S]^2. \quad (11)$$

Среднее значение величины γ_u равно

$$\begin{aligned} \langle \gamma_u(\theta_i) \rangle &= \frac{1}{4\pi} \int_{\Omega} \langle \dot{v}(\theta_i, \bar{q}_{\perp S})^2 \rangle d\Omega = \\ &= \frac{1}{4\pi} \Delta S \int_{\Omega} \sigma^0(\theta_i, \bar{q}_{\perp S}) d\Omega. \end{aligned} \quad (12)$$

Второй момент величины γ_u равен

$$\begin{aligned} \langle \gamma_u^2 \rangle &= \left(\frac{\Delta S}{(4\pi)^2} \int_{\Omega} \sigma^0(\bar{q}_{\perp S}) d\Omega \right)^2 + \frac{\Delta S}{16k^2} \int_{\Omega} \frac{[\sigma^0(\bar{q}_{\perp S})]^2}{\cos \theta_s(\bar{q}_{\perp S1})} d\Omega + \\ &\quad \frac{\Delta S}{16k^2} \int_{\Omega} \frac{[\dot{\Sigma}^0(\bar{q}_{\perp S})]^2}{\cos \theta_s(-\bar{q}_{\perp S1})} d\Omega, \end{aligned} \quad (13)$$

где

$$\begin{aligned} [\sigma^0(\bar{q}_{\perp S})]^2 &= \\ &= \left\{ \sigma_{xx}^0(\bar{q}_{\perp S1}) + \sigma_{yy}^0(\bar{q}_{\perp S1}) \right\} \pm \left[2 \operatorname{Im} \dot{\sigma}_{xy}^0(\bar{q}_{\perp S1}) \right]^2; \end{aligned} \quad (14)$$

$$\begin{aligned} [\dot{\Sigma}^0(\bar{q}_{\perp S})]^2 &= \\ &= \left\{ \left[\sigma_{xx}^0(\bar{q}_{\perp S1}) + \sigma_{yy}^0(\bar{q}_{\perp S1}) \right]^2 + \left[2 \operatorname{Re} \dot{\sigma}_{xy}^0(\bar{q}_{\perp S1}) \right]^2 \right\}. \end{aligned} \quad (15)$$

Для дальнейшего анализа целесообразно выделить три случая [4].

1. В общем случае оценку величин, входящих в корреляционную функцию сделать трудно, т.к. в литературе нет данных о соотношениях между $\sigma_{xx}^0(\bar{q}_{\perp i}), \sigma_{yy}^0(\bar{q}_{\perp i}), \sigma_{xy}^0(\bar{q}_{\perp i})$, просто считают $\beta \neq 0$.

При этом учтено, что, как правило, на практике коэффициент корреляции неоднородностей статистически неровной поверхности значительно меньше линейных размеров рассматриваемой площадки.

2. При рассмотрении наиболее часто встречающихся на практике случаев ($\lambda \ll h(\bar{r})$, где $h(\bar{r})$ - высота неровностей рельефа) можно предположить, что аргумент функции $\dot{F}(\bar{r})$ распределен равномерно в интервале от 0 до 2π , а ее модуль - по закону Релея. При этом:

$$\sigma^0(\bar{q}_{\perp S}) = 2 \left[\sigma_{xx}^0(\bar{q}_{\perp S}) \pm \left| \dot{\sigma}_{xy}^0(\bar{q}_{\perp S}) \right| \right]; \quad (16)$$

$$\sigma_{xx} = \sigma_{yy}; \operatorname{Re} \dot{\sigma}_{xy} = 0; \beta = 0.$$

3. В частном, хорошо известном случае, мелко-масштабной поверхности флуктуационная часть функции $\dot{F}(\bar{r})$ равна $j\bar{f}(\bar{\alpha})h(\bar{r})$. При вещественной диэлектрической проницаемости ($\bar{\alpha}$ - вектор диэлектрических и геометрических параметров поверхности) эта величина является чисто мнимой. Тогда:

$$\begin{aligned} B_{xx} = B_{xy} = B_{yx} = 0; \quad \sigma^0(\bar{q}_{\perp S}) = \sigma_{yy}^0(\bar{q}_{\perp S}); \\ \beta = 1; \end{aligned} \quad (17)$$

$$\left(\langle |\dot{v}|^2 \rangle \right) = [\sigma_{yy}^0(\bar{q}_{\perp S})]^2 [\Delta S]^2 = [\sigma^0(\bar{q}_{\perp S})]^2 [\Delta S]^2. \quad (18)$$

Запишем статистические характеристики для приведенных выше случаев.

1. Статистические характеристики обратного рассеяния. Случаи 1, 2, 3 ($\theta_i \neq 0$):

$$\langle \gamma_i \rangle = \sigma^0(\bar{q}_{\perp i}) \Delta S; \quad (19)$$

$$\langle \gamma_i \rangle^2 = 2[\sigma^0(\bar{q}_{\perp i})]^2 (\Delta S)^2. \quad (20)$$

Дисперсия

$$\sigma_{\gamma_i}^2 = \langle \gamma_i^2 \rangle - (\langle \gamma_i \rangle)^2 = (\Delta S)^2 [\sigma^0(\bar{q}_{\perp i})]^2; \quad (21)$$

случай 3 (мелкомасштабная поверхность), $\theta_i = 0$:

$$\langle \gamma_i \rangle^2 = 3[\sigma^0(0)]^2 (\Delta S)^2. \quad (22)$$

Дисперсия

$$\sigma_{\gamma_i}^2 = 2[\sigma^0(0)]^2 (\Delta S)^2. \quad (23)$$

2. Статистические характеристики для интегрального коэффициента рассеяния:

$$\begin{aligned} \langle \gamma_u^2 \rangle = & \left(\frac{\Delta S}{(4\pi)^2} \int_{\Omega} \sigma^0(\bar{q}_{\perp LS}) d\Omega \right)^2 + \\ & + \frac{\Delta S}{16k^2} \int_{\Omega} \frac{[\sigma^0(\bar{q}_{\perp LS})]^2}{\cos \theta_S(\bar{q}_{\perp LS1})} d\Omega + \\ & + \frac{\Delta S}{16k^2} \int_{\Omega} \frac{\beta^2 [\sigma^0(\bar{q}_{\perp LS})]^2}{\cos \theta_S(-\bar{q}_{\perp LS1})} d\Omega; \end{aligned} \quad (24)$$

$$\begin{aligned} \sigma_{\gamma_u}^2 = & \frac{\Delta S}{4k^2} \int_{\Omega} [\sigma^0(\bar{q}_{\perp LS})]^2 \left[\frac{1}{\cos \theta_S(\bar{q}_{\perp LS1})} + \right. \\ & \left. + \frac{\beta^2}{\cos \theta_S(\bar{q}_{\perp LS1})} \right] d\Omega. \end{aligned} \quad (25)$$

3. Смешанные моменты.

Начальный второй момент

$$\begin{aligned} \langle \gamma \gamma_u \rangle = & (\Delta S)^2 \sigma^0(\bar{q}_{\perp Li}) \int_{\Omega} \sigma^0(\bar{q}_{\perp LS}) d\Omega + \\ & + \frac{\Delta S \pi}{4k^2 \cos \theta_i} [\sigma^0(\bar{q}_{\perp Li})]^2 + \\ & + \frac{\Delta S \pi}{4k^2 \sqrt{1 - 4 \sin^2 \theta_i}} \beta^2 [\sigma^0(\bar{q}_{\perp Li})]^2. \end{aligned} \quad (26)$$

Центральный второй момент

$$\langle \overset{\circ}{\gamma} \overset{\circ}{\gamma}_u \rangle = \frac{\Delta S \pi [\sigma^0(\bar{q}_{\perp Li})]^2}{4k^2} \left[\frac{1}{\cos \theta_i} + \frac{\beta^2}{\sqrt{1 - 4 \sin^2 \theta_i}} \right]. \quad (27)$$

В выражениях (24) и (25) интегрирование второго слагаемого осуществляется по части верхней полусферы. В выражениях (26, 27) вторые слагаемые существуют лишь при углах $\theta_i \leq 30^\circ$.

Коэффициент корреляции ρ равен ($0 < \theta_i \leq 30^\circ$, случаи 1, 2, 3):

$$\begin{aligned} \rho_1 = & - \frac{\langle \overset{\circ}{\gamma} \overset{\circ}{\gamma}_u \rangle}{\sigma_{\gamma} \sigma_{\gamma_u}} = \\ = & \left(\frac{1}{\cos \theta_i} + \frac{\beta^2}{\sqrt{1 - 4 \sin^2 \theta_i}} \right) \cdot \left(\sqrt{\frac{k^2 \Delta S}{\pi^2}} \right)^{-1} / \\ & / \sqrt{\int_{\Omega} \frac{[\sigma^0(\bar{q}_{\perp LS})]^2}{[\sigma^0(\bar{q}_{\perp Li})]^2} \left[\frac{1}{\cos \theta_i(\bar{q}_{\perp LS})} + \frac{\beta^2}{\cos \theta_i(-\bar{q}_{\perp LS})} \right]}, \end{aligned} \quad (28)$$

при $\theta_i > 30^\circ$ 2-е слагаемое в числителе отсутствует.

В наиболее распространенном случае (случай 2), $\beta = 0$ при всех значениях θ_i :

$$\begin{aligned} \rho_2 = & - \left(\frac{k^2 \Delta S \cos^2 \theta_i}{\pi^2} \times \right. \\ & \left. \times \int_{\Omega} \left[\frac{\sigma^0(\bar{q}_{\perp LS})}{\sigma^0(\bar{q}_{\perp Li})} \right]^2 \frac{1}{\cos \theta_S(\bar{q}_{\perp LS})} d\Omega \right)^{-0,5} \end{aligned} \quad (29)$$

Для случая 3 (мелкомасштабная поверхность, $\beta = 1, \cos \theta_S(\bar{q}_{\perp LS}) \approx \cos \theta_S(-\bar{q}_{\perp LS})$):

при $\theta_i > 30^\circ$

$$\rho_3 = - \left(\frac{k^2 \Delta S \cos \theta_i}{\pi^2} \int_{\Omega} \left[\frac{\sigma^0(\bar{q}_{\perp LS})}{\sigma^0(\bar{q}_{\perp Li})} \right]^2 d\Omega \right)^{-0,5}; \quad (30)$$

при $0 < \theta_i \leq 30^\circ$

$$\begin{aligned} \rho_4 = & - \frac{1}{\cos \theta_i} - \frac{\beta^2}{\sqrt{1 - 4 \sin^2 \theta_i}}; \\ & \sqrt{\frac{k^2 \Delta S}{\pi^2} \int_{\Omega} \left[\frac{\sigma^0(\bar{q}_{\perp LS})}{\sigma^0(\bar{q}_{\perp Li})} \right]^2 d\Omega} \end{aligned} \quad (31)$$

при $\theta_i = 0$

$$\rho_5 = \rho_4 / \sqrt{2}. \quad (32)$$

Примечание: коэффициенты ρ_3, ρ_4, ρ_5 найдены лишь для диффузных составляющих рассеянного поля без учета зеркальных компонентов.

Заключение

По результатам проведенного анализа можно сделать определенные выводы. В связи с тем, что электромагнитное поле, обусловленное тепловым излучением поверхности, является некогерентным, в качестве сравниваемых характеристик отраженных сигналов и теплового излучения (от одних и тех же участков поверхности ΔS) взяты коэффициент обратного отражения (рассеяния) и яркостная температура, причем последняя выражается через интегральный коэффициент отражения, определяемый путем интегрирования бистатистического коэффициента рассеяния по верхней полусфере. Задача опреде-

ления коэффициента корреляции сводится к расчету различных смешанных статистических моментов четвертого порядка и их интегрированию по телесным углам верхней полусферы. Полученные коэффициенты пропорциональны малому параметру $\frac{\lambda}{\sqrt{\Delta S}}$ и в большинстве случаев значительно меньше единицы. Заметное увеличение коэффициента корреляции наблюдается лишь при узких индикатрисах $\sigma^0(\vec{q}_{\perp LS})$ и выполнении условия $\vec{q}_{\perp Li} = 0$. Эти коэффициенты зависят от углов падения, а также от вида поверхности. В самом общем случае для различных поверхностей дать численную оценку коэффициентов корреляции трудно, так как в литературе отсутствуют данные о величинах $\sigma_{xx}, \sigma_{yy}, \sigma_{xy}$ (о величине β). В частных случаях, но весьма распространенных на практике (высота неровностей $h(\vec{r}) \gg \lambda, \beta = 0$), величина коэффициента корреляции полностью определяется углом визирования θ_i , длиной волны λ , размерами площади ΔS , бистатистическим эффективным сечением рассеяния $\sigma^0(\vec{q}_{\perp LS})$ и удельной ЭПР $\sigma^0(\vec{q}_{\perp Si})$. Наблюдается существенное различие в коэффициентах корреляции при меньшем и превышающем 30° , а также при лоцировании в надири, т.е. корреляционная связь между яркостной температурой и коэффициентом отражения при анализе одной реализации статистически неровной поверхности отсутствует. Однако на практике наблюдается наличие корреляции между элементами изображений, полученных с помощью активной и пассивной РЛС от одних и тех же участков поверхности. Это объясняется тем, что регистрируемые сигналы пропорциональны усредненной по времени и пространству мощности или усредненному модулю комплексной амплитуды, причем интервал усреднения определяется техническими харак-

теристиками используемых технических средств. Случайность отраженных и радиотепловых сигналов непосредственно связана со случайным характером неровностей поверхности и ее электрофизических параметров. Если изображение формируется по характеристикам средней мощности принимаемых радиотепловых и отраженных сигналов, то при определении корреляционной связи между этими колебаниями усреднение должно рассматриваться как условное, причем осуществляться оно должно либо по времени или по времени и части случайных параметров поверхности (другая часть параметров определена и постоянна). В дальнейшей работе необходим анализ и исследование именно такого случая.

Литература

1. Волосюк В. К. Комплексование активных и пассивных радиолокационных систем дистанционного зондирования: Учебное пособие. – Х.: ХАИ, 2001. – 43 с.
2. Волосюк В. К. Оптимизация радиотехнических измерений электрофизических параметров и статистических характеристик природных сред при активном аэрокосмическом дистанционном зондировании: Учебное пособие. – Х.: ХАИ, 2000. – 93 с.
3. Волосюк В. К. Теоретические основы пассивного дистанционного зондирования природных сред с аэрокосмических летательных аппаратов: Учебное пособие. – Х.: ХАИ, 1997. – 84 с.
4. Радиолокационные методы исследования Земли / Под ред. Ю. А. Мельника. – М.: Сов. радио, 1980. – 264 с.

Поступила в редакцию 1.11.2004

Рецензент: д-р техн. наук, проф. П.Ю. Костенко, Военный университет Воздушных Сил, Харьков.